

С. С. Вильковский

ОБОБЩЕНИЕ УРАВНЕНИЙ КЛАССИЧЕСКОЙ ГИДРОДИНАМИКИ И ТЕОРИИ УПРУГОСТИ И ОПИСАНИЕ С ИХ ПОМОЩЬЮ КИНЕТИКИ СТЕКЛОВАНИЯ ЖИДКОСТИ

Жидкости и аморфные твердые тела одновременно проявляют как вязкие, так и упругие свойства, и между ними существует только количественное различие, характеризуемое временем релаксации [1—4]. Поэтому поведение вещества в жидком и аморфном (стеклообразном) состояниях может быть описано одними и теми же уравнениями, переходящими в уравнения гидродинамики и теории упругости изотропных тел при высоких и низких температурах соответственно [3]. Необходимость таких уравнений в настоящее время существенно возросла в связи с разработкой методов получения с помощью сверхбыстрой закалки из расплава новых аморфных материалов, особенно аморфных металлов [5, 6], механические, магнитные и многие другие свойства которых во многом определяются вязкоупругими процессами, происходящими при их образовании [6—8]. Впервые Максвелл предложил уравнения, описывающие одновременно вязкое и упругое поведение жидкости для однородной сдвиговой деформации [2, 3]. Дальнейшее обобщение теории Максвелла в случае простых аморфных тел и жидкостей предложено в [3, 7—10].

В настоящей работе приведено обобщение уравнений гидродинамики жидкости и теории упругости изотропных тел для произвольного движения и изменения температуры вязкоупругого скимаемого материала. Обобщение уравнений производилось без разделения движения на чисто сдвиговое и объемное. Полученные уравнения позволяют единным образом описать основные особенности вязкоупругого поведения обычных жидкостей и аморфных твердых тел и кинетики превращения переохлажденной жидкости в стеклообразное состояние с понижением температуры. Решение уравнений приводится для однородного изменения объема жидкости под действием изменяющейся температуры в области температуры стеклования и распространения упругой поперечной волны в глубь полубесконечного вязкоупругого материала.

Рассмотрим деформацию жидкости, тензор деформации которой может быть представлен в виде $u_{ik} = (\partial u_i / \partial x_k + \partial u_k / \partial x_i) / 2$ (\mathbf{u} — вектор деформации). Данная деформация зависит от упругого изменения расстояния между атомами, которое характеризуем параметром ψ , и перестройки структуры атомов жидкости, деформацию которой будем характеризовать параметром φ (если какая-нибудь из данных деформаций не может быть описана одним параметром, то под соответствующей величиной следует понимать совокупность необходимых параметров).

Таким образом, считаем, что тензор деформации u_{ik} — функция переменных φ и ψ , которые формально можно рассматривать не зависящими друг от друга, и в то же время каждая из них есть функция времени. Поэтому тензор скорости деформации $v_{ik} = (\partial v_i / \partial x_k + \partial v_k / \partial x_i) / 2$ (\mathbf{v} — вектор скорости деформации) может быть представлен как

$$(1) \quad v_{ik} = \frac{du_{ik}}{dt} = \frac{du_{ik}}{dt} \Big|_{\varphi=\text{const}} + \frac{du_{ik}}{dt} \Big|_{\psi=\text{const}} = v'_{ik} + v''_{ik},$$

где v'_{ik} соответствует тензору скорости упругой деформации; v''_{ik} связан с перестройкой структуры жидкости и поэтому отвечает тензору скорости вязкой деформации. Это эквивалентно объединению, согласно Максвеллу, вязкой и упругой деформации. В [3, 9] такое объединение используется для недиагональных компонент тензоров u_{ik} и v_{ik} и их девиаторов. Будем считать, согласно предыдущим рассуждениям, что формула (1) верна для всех компонент тензора v_{ik} .

Рассмотрим движение вязкоупругого вещества. Общее уравнение механики сплошных сред имеет вид [11]

$$(2) \quad \rho \frac{d^2 u_i}{dt^2} = \rho \frac{dv_i}{dt} = \frac{\partial \sigma_{iz}}{\partial x_k} + f_i.$$

Здесь ρ — плотность материала; f_i — компонента вектора объемной силы; σ_{iz} — тензор напряжений. Уравнение (2) обычно дополняется уравнением неразрывности

$$(3) \quad \partial \rho / \partial t + \operatorname{div} \rho \mathbf{v} = 0.$$

Считаем, что действующие на вещество напряжения не являются достаточно большими. В этом случае для упругой деформации выполняется закон Гука. В теории упругости тензор напряжений для изотропного тела с учетом изменяющейся температуры [11]

$$(4) \quad \sigma_{ik} = -k'\beta'(T - T_0)\delta_{ik} + 2M'u'_{ik} + L'v'_{ll}\delta_{ik} + \lambda'v'_{ll}\delta_{ik} + 2\eta_s v'_{ik},$$

где L' и M' — коэффициенты Ламэ; T_0 — начальная температура; $k' = L' + 2M'/3$ — модуль всестороннего сжатия; β' — температурный коэффициент объемного расширения стекла; λ' и η_s — коэффициенты, характеризующие объемную и сдвиговую вязкость (внутреннее трение) вещества как твердого тела [11, с. 781].

Тензор напряжений вязкой сжимаемой жидкости [11]

$$(5) \quad \sigma_{ik} = -p_\alpha\delta_{ik} + \lambda''v''_{ll}\delta_{ik} + 2\eta''_s v''_{ik}$$

(p_α — давление, λ'' и η''_s — коэффициенты, характеризующие объемную и сдвиговую вязкость жидкости). Для получения уравнения, связывающего тензор напряжений и тензор скорости деформации вязкоупругого материала, проведем объединение уравнений (4) и (5) в соответствии с формулой (1). Для этого из (5) найдем

$$(6) \quad v''_{ik} = \frac{\sigma_{ik}}{2\eta''_s} - \frac{\lambda''}{2\eta''_s} \left(\frac{\sigma_{ll} + 3p_\alpha}{3\lambda'' + 2\eta''_s} \right) \delta_{ik} + \frac{p_\alpha}{2\eta''_s} \delta_{ik}.$$

Далее продифференцируем (4) по времени. В нем последние два слагаемых, которые учитывают, что процесс происходит с конечной скоростью, для большинства реальных процессов играют несущественную роль. Поэтому в дальнейшем ими пренебрежем. Отметим, что их учет приведет только к несколько более сложным формулам. Коэффициенты L' , M' , β' относительно слабо изменяются в зависимости от температуры и давления. Поэтому их будем считать не зависящими от времени. В результате

$$(7) \quad \frac{d\sigma_{ik}}{dt} = -k'\beta' \frac{dT}{dt} \delta_{ik} + L'v'_{ll}\delta_{ik} + 2M'v'_{ik}.$$

Заменяя в (7) v'_{ik} на $v_{ik} - v''_{ik}$ и подставляя вместо v''_{ik} его значение из (6), получаем систему дифференциальных уравнений, связывающих тензоры σ_{ik} и v_{ik} :

$$(8) \quad \begin{aligned} \frac{d\sigma_{ik}}{dt} = & -k'\beta' \frac{dT}{dt} \delta_{ik} + L' \left(v_{ll} - \frac{\sigma_{ll} + 3p_\alpha}{3\lambda'' + 2\eta''_s} \right) \delta_{ik} + \\ & + 2M' \left[v_{ik} - \frac{\sigma_{ik}}{2\eta''_s} - \frac{p_\alpha}{2\eta''_s} \hat{\delta}_{ik} + \frac{\lambda''}{2\eta''_s} \left(\frac{\sigma_{ll} + 3p_\alpha}{3\lambda'' + 2\eta''_s} \right) \hat{\delta}_{ik} \right]. \end{aligned}$$

Система (2), (3), (8) представляет собой десять независимых уравнений (поскольку $\sigma_{ik} = \sigma_{ki}$, $v_{ik} = v_{ki}$) в общем случае с двенадцатью неизвестными: шесть компонент тензора σ_{ik} , три компоненты вектора \mathbf{v} , давление p_α , плотность ρ и температура T . Если необходимо определить деформацию, то система дополняется уравнением $\mathbf{v} = d\mathbf{u}/dt$. Она может быть решена в том случае, если для конкретного условия задачи окажется замкнутой. В противном случае, так же как и в гидродинамике, необходимо решать расширенную систему, дополненную уравнением энергии $\rho d\vartheta/dt = \sigma_{ik}v_{ik} - \partial q/\partial x_i$ (q и ϑ — вектор теплового потока и удельная внутренняя энергия среды), состояния жидкости и др.

Для несжимаемой жидкости ($v_{ll} = v''_{ll} = v_{ll} = 0$) и постоянной температуры, используя систему (1), (2), (8), получаем

$$(9) \quad \frac{1}{\eta''_s} \frac{\partial p_\alpha}{\partial x_i} + \left(\frac{1}{M'} \frac{d}{dt} + \frac{1}{\eta''_s} \right) \left(\rho \frac{dv_i}{dt} - f_i \right) = \nabla^2 v_i$$

(∇^2 — оператор Лапласа). Уравнение (9) отличается от соответствующего в [10, с. 234] тем, что здесь отсутствует слагаемое $(1/M')[d(\partial p_\alpha/\partial x_i)/dt]$. Это связано с тем, что в настоящей работе обобщение уравнений гидродинамики и теории упругости проводилось согласно уравнению (1), а в [10] — заменой множителя $1/\eta_s''$ в уравнении Навье — Стокса максвелловским оператором $1/\eta_s'' + (1/M')(d/dt)$. Решение системы уравнений (2), (3), (8) в общем случае представляет собой значительные трудности, однако в некоторых случаях они могут быть легко решены.

Рассмотрим распределение напряжения и деформации в полубесконечном вязкоупругом материале, на поверхности которого действует сдвиговое синусоидальное напряжение $\sigma_{yx} = \sigma_{yx}^0 \exp(i\omega t)$ (ось y направлена вдоль поверхности, x — внутрь материала, причем на поверхности $x = 0$). Считаем, что ρ , η_s'' и T постоянны. Решение ищем в виде $\sigma_{yx} = \sigma_{yx}^0 \exp[i(\omega t - vx) - \mu x]$, $v_y = v_y^0 \exp[i(\omega t - vx) - \mu x]$ (σ_{yx}^0 , v_y^0 , v , μ — константы). В системе (2), (3), (8) в данном случае отличными от нуля являются два уравнения. Их решение имеет вид

$$\mu, v = \sqrt{\frac{V \alpha^2 + \gamma^2 + \alpha}{2}}, \quad v_y^0 = \sigma_{yx}^0 (v - i\mu)/\rho\omega$$

$$(\alpha = \rho\omega^2/M', \gamma = -\rho\omega/\eta_s'').$$

При η_s'' , стремящемся к бесконечности, $\mu = 0$, а $v = \sqrt{\rho\omega^2/M'}$, т. е. вещество ведет себя как идеально упругое тело. При η_s'' , стремящемся к нулю, $\mu = v = \sqrt{\rho\omega/2\eta_s''} \rightarrow \infty$, и, таким образом, как и в подвижной жидкости, волна быстро затухает вблизи поверхности. С понижением температуры вязкость жидкости быстро увеличивается от малых до очень больших значений (вблизи температуры стеклования T_g), а коэффициенты Ламэ относительно медленно изменяются в зависимости от температуры. Поэтому, как можно видеть из (1), (6), система (2), (3), (8) выше температуры стеклования описывает вязкую жидкость, а ниже — упругое твердое тело (стекло) и, таким образом, должна отражать процесс стеклования жидкости.

Рассмотрим изменение объема под действием температуры в области стеклования жидкости. Для однородного изменения объема недиагональные компоненты тензоров σ_{ik} и v_{ik} обращаются в нуль и уравнение (8) принимает вид

$$(10) \quad \frac{d\sigma_{ll}}{dt} = -3k'\beta' \frac{dT}{dt} + (3L' + 2M') \left(v_{ll} - \frac{3p_\alpha + \sigma_{ll}}{3\lambda'' + 2\eta_s''} \right).$$

Будем считать, что объемное течение происходит достаточно медленно. Тогда в уравнении (2) положим $\rho dv/dt = 0$, а следовательно (в дальнейшем будем считать $f \equiv 0$), и $\partial\sigma_{ik}/\partial x_k = 0$. Таким образом, диагональные компоненты тензора σ_{ik} не зависят от координаты. Поскольку на границе они должны быть равны внешнему давлению $-p$, получаем, что по всему объему $\sigma_{11} = \sigma_{22} = \sigma_{33} = -p$. Можно показать, что для однородного изменения объема $v_{ll} = \operatorname{div} v = (1/w) (dw/dt)$ (w — объем жидкости). Делая замену в уравнении (10) $\sigma_{ll} = -3p$, $v_{ll} = (1/w)(dw/dt)$, $k' = L' + 2M'/3$, имеем

$$(11) \quad \frac{1}{w} \frac{dw}{dt} = \beta' \frac{dT}{dt} - \lambda' \frac{dp}{dt} + \frac{p_\alpha - p}{\eta_v''} = \beta' \frac{dT}{dt} - \chi' \frac{dp}{dt} - \frac{w - w_p}{w\tau}.$$

Здесь $\chi' = 1/k'$ — мгновенный коэффициент сжимаемости (коэффициент сжимаемости стекла); $\eta_v'' = \lambda'' + 2\eta_s''/3$ — объемная вязкость жидкости. В последнем равенстве заменена разность $p_\alpha - p$ на $w - w_p$ введением коэффициента структурной (обусловленной вязким течением) сжимаемости жидкости $\Delta\chi = \chi - \chi' = -(w - w_p)/w(p_\alpha - p)$, где χ — статический коэффициент сжимаемости жидкости, w — объем жидкости.

после осуществления в ней упругой деформации, w_p — равновесное значение объема, и обозначения $\tau = \Delta\chi\eta_v''$. Введение коэффициента структурной сжимаемости объясняется тем, что слагаемое $(p_\alpha - p)/\eta_v''$ в (11) описывает только вязкое течение жидкости.

Пусть жидкость охлаждается с постоянной скоростью $\dot{T} = dT/dt$ в условиях постоянного внешнего давления $p = \text{const}$. Если перейти в уравнении (11) к переменной T , то

$$(12) \quad \frac{1}{w} \frac{dw}{dT} = \beta' - \frac{w - w_p}{w\tau\dot{T}}.$$

С понижением температуры η_s'' , а следовательно, и τ ($\Delta\chi$ относительно слабо изменяется с температурой) возрастают от малого значения до очень большого. Поэтому, согласно (12), при высоких температурах объем жидкости практически равен равновесному. При низкой же температуре объем изменяется (аналогично стеклу) согласно

$$(13) \quad \frac{1}{w} \frac{dw}{dT} = \beta'.$$

Таким образом, (12) описывает переход из переохлажденного жидкого состояния в стеклообразное. Уравнения (11), (12) позволяют отразить основные особенности процесса стеклования жидкости. По сравнению с существующими теориями стеклования здесь пропорциональность времени релаксации и вязкости жидкости является не постулом, а следствием. Объемная и сдвиговая вязкости имеют одинаковую или близкие температурные зависимости и поэтому могут быть связаны друг с другом посредством коэффициента пропорциональности [12].

Однако данные уравнения приводят к простому экспоненциальному закону изменения объема жидкости при изотермической релаксации в случае малого изменения ее температуры, что не отражает в полной мере реального процесса релаксации жидкости [4, 6]. Кроме того, в стеклах наблюдается эффект «памяти», который проявляется в некотором большем возрастании объема стекла с увеличением температуры при приближении к температуре стеклования, несмотря на то что равновесное значение объема лежит обычно ниже объема стекла, что также не может быть описано данными уравнениями. Однако эффект «памяти» мал. Поэтому в первом приближении уравнения (11), (12) позволяют правильно отразить процесс стеклования жидкости. Они могут быть использованы для исследования кинетики стеклования быстрозакаленных аморфных металлов и более последовательно и полно описывают процесс стеклования расплава, чем применяемые в этом случае теории [13, 14], поскольку учитывают кроме структурной также упругую деформацию и время релаксации в данных уравнениях имеет определенное значение.

При выводе (8) учитывали только упругую и вязкую деформации. Однако в жидкости вблизи температуры стеклования T_g при сдвиге проявляется еще замедленно-упругая, или эластическая, деформация [3, 6, 15]. Попробуем обобщить уравнения вязкоупругого движения жидкости с ее учетом.

Данная деформация при приложении к аморфному веществу сдвигового напряжения σ_{12} возрастает в соответствии с формулой $u_{12}''' = (\sigma_{12}/2M''')\Phi(t)$ [3, 6, 15] ($\Phi(t)$ — функция, изменяющаяся от нуля до единицы, M''' — модуль сдвига эластической деформации). При снятии напряжения эта деформация полностью исчезает. На опыте она наблюдается практически только вблизи T_g , поскольку ее время релаксации выше T_g становится очень малым, а ниже — очень большим [3], и в простейшем случае имеет вид [9, 3]

$$(14) \quad \sigma_{12} = 2M''' u_{12}''' + 2\eta_s'' v_{12}''$$

(η_s'' — сдвиговая вязкость эластической деформации). Эта формула поз-
134

воляет удовлетворительно описывать экспериментальные данные по стеклованию [16]. Предположим, что аналогично деформации на сдвиг для объемного течения помимо упругой и вязкой деформации существует также эластическая деформация. Поскольку в этом случае вязкая деформация ведет себя тоже замедленно-упруго, то здесь накладываются две замедленно-упругие деформации, и прямо экспериментально наблюдать их порознь трудно, но можно проверить косвенным путем. Данное предположение, как будет показано ниже, позволяет объяснить неэкспоненциальный закон релаксации объема жидкости и наличие эффекта «памяти» в аморфном материале.

Формула (14) аналогична (4) для недиагональных компонент тензора напряжений. Можно предположить, что тензор эластической деформации имеет вид, аналогичный (4):

$$(15) \quad \sigma_{ik} = -k''' \beta''' (T - T_0) \delta_{ik} + L''' u''_{il} \delta_{ik} + \\ + 2M''' u''_{ik} + \lambda''' v''_{ll} \delta_{ik} + 2\eta_s''' v''_{ik}.$$

Здесь коэффициенты эластической деформации аналогичны коэффициентам формулы (4); β''' — температурный коэффициент объемного расширения эластической деформации; $k''' = L''' + 2M'''/3$. Согласно [3, 15], упругая, вязкая и эластическая деформации проявляют себя независимо. Поэтому общая деформация равна их сумме: $v_{ik} = v'_{ik} + v''_{ik} + v'''_{ik}$.

Продифференцируем (15) по времени, считая аналогично получению (7), что L''' , M''' и β''' не зависят от времени. В то же время η_s''' сильно изменяется с температурой [3]. Поэтому от η_s''' и λ''' будем брать производные по времени. Затем в найденном уравнении заменим v''_{ik} на $v_{ik} - v'_{ik}$ и подставим вместо v'_{ik} и v''_{ik} их значения из (6), (7). В результате имеем уравнение, связывающее тензор напряжений и тензор скорости деформации для среды, обладающей вязкими, упругими и эластическими свойствами:

$$(16) \quad \frac{d\sigma_{ik}}{dt} = -k'' \beta''' \frac{dT}{dt} \delta_{ik} + \left(L''' + \frac{d\lambda''}{dt} \right) \left[v_{ll} - \frac{d\sigma_{ll}/dt + 3k'\beta'dT/dt}{3L' + 2M'} - \right. \\ \left. - \frac{\sigma_{ll} + 3p_\alpha}{3\lambda'' + 2\eta_s''} \right] \delta_{ik} + 2 \left(M''' + \frac{d\eta_s''}{dt} \right) \left\{ v_{ik} - \frac{1}{2M'} \left[\frac{d\sigma_{ik}}{dt} + k'\beta' \frac{dT}{dt} \delta_{ik} - \right. \right. \\ \left. \left. - L' \frac{d\sigma_{ll}/dt + 3k'\beta'dT/dt}{3L' + 2M'} \delta_{ik} \right] - \frac{1}{2\eta_s'} \left[\sigma_{ik} + p_\alpha \delta_{ik} - \lambda'' \left(\frac{\sigma_{ll} + 3p_\alpha}{3\lambda'' + 2\eta_s''} \right) \delta_{ik} \right] \right\} + \\ + \lambda''' \frac{d}{dt} \left[v_{ll} - \frac{d\sigma_{ll}/dt + 3k'\beta'dT/dt}{3L' + 2M'} - \frac{\sigma_{ll} + 3p_\alpha}{3\lambda'' + 2\eta_s''} \right] \delta_{ik} + \\ + 2\eta_s''' \frac{d}{dt} \left\{ v_{ik} - \frac{1}{2M'} \left[\frac{d\sigma_{ik}}{dt} + k'\beta' \frac{dT}{dt} \delta_{ik} - L' \frac{d\sigma_{ll}/dt + 3k'\beta'dT/dt}{3L' + 2M'} \delta_{ik} \right] - \right. \\ \left. - \frac{1}{2\eta_s''} \left[\sigma_{ik} + p_\alpha \delta_{ik} - \lambda'' \left(\frac{\sigma_{ll} + 3p_\alpha}{3\lambda'' + 2\eta_s''} \right) \delta_{ik} \right] \right\}.$$

Рассматривая аналогично однородное объемное течение для постоянного внешнего давления, получаем из (16)

$$(17) \quad k''' \beta''' \frac{dT}{dt} = k''' g + \frac{d}{dt} (\eta_v''' g) \\ (\eta_v''' = \lambda''' + 2\eta_s'''/3, \quad g = (1/w) (dw/dt) - \beta'dT/dt - (p_\alpha - p)/\eta_v'').$$

Если положить в (17) $\eta_v''' = 0$ и перейти к переменной T , то

$$(18) \quad \frac{1}{w} \frac{dw}{dT} = \beta' + \beta''' - \frac{w - w_p}{w\tau T}.$$

Здесь $\tau = \Delta\chi\eta_v''$; $\Delta\chi$ — коэффициент структурной (обусловленной только вязким течением) сжимаемости жидкости.

С понижением температуры τ возрастает и последнее слагаемое в (18) становится пренебрежимо малым. Как отмечается в [3, 6, 10], время релаксации эластической деформации $\tau_s = \eta''/M'''$, являясь малым при высокой температуре, резко возрастает с понижением температуры, что обусловлено увеличением η''_v . Так как $\eta''_v = \lambda''' + 2\eta'''_s/3$, то объемная вязкость эластической деформации существует, даже если $\lambda''' = 0$, и изменяется аналогично сдвиговой вязкости η''_s . Поэтому, в связи с тем что с понижением температуры η''_v и η''_s значительно возрастают, при низких температурах, согласно (17), объем изменяется в соответствии с уравнением (13).

Таким образом, с понижением температуры должно наблюдаться замораживание двух структурных деформаций: вязкой, исчезающей с возрастанием η''_v , и эластической, исчезающей с увеличением η''_s . Поскольку эластическая деформация наблюдается при более низких температурах, чем вязкая [3, 6, 15], то, по-видимому, при нагревании происходит вначале размораживание эластической деформации, а затем вязкой, чем и можно объяснить наличие эффекта «памяти» в стекле. Явление отклонения от экспоненциального закона возвращения объема жидкости к равновесному значению даже при очень малых отклонениях от равновесия [4, 6] можно объяснить также наличием совместно с вязкой эластической деформации.

Рассмотрим процесс релаксации жидкости. Пусть вначале температура расплава «мгновенно» ($T \rightarrow \infty$) изменяется от T_1 до T_2 и затем выдерживается при $T = T_2$. Будем считать, что скачок температуры достаточно мал, чтобы изменением вязкости в данном процессе можно было пренебречь ($\eta''_v = \text{const}$, $\eta''_s = \text{const}$). В этом случае $\eta''_v \neq 0$, и поэтому в уравнении (17) полагаем $(p - p_\alpha)/\eta''_v = (w - w_p - \Delta w_s)/\tau$, где $\tau = \Delta\chi\eta''_v$, $\Delta w_s = \Delta w_s^0 \exp(-t/\tau_s)$ — часть изменения объема, обусловленная действием только эластической деформации. Здесь $\tau_s = \eta''_s/k'''$, $\Delta w_s^0 \approx \approx w_p \beta'''(T_1 - T_2)$. Значение Δw_s получается из решения уравнения (15). Решение уравнения (17) для данного двухстадийного процесса имеет вид

$$w(t) = \Delta w_v^0 \exp\left(-\frac{t}{\tau}\right) + \Delta w_s^0 \exp\left(-\frac{t}{\tau_s}\right) + w_p$$

(Δw_v^0 — начальное отклонение объема, связанное только с вязким течением). Таким образом, релаксация объема выражается в виде суммы двух экспонент, что в принципе может объяснить отклонение закона релаксации жидкости от экспоненциального (описываемого одной экспонентой), наблюдавшегося на опыте.

Наличие термической предыстории стекла, определяющее его структурное состояние, проявляется в следующем эксперименте [6, с. 123; 17]. При температуре T_α релаксация жидкости осуществляется до тех пор, пока удельный объем или показатель преломления стекла N не достигнут значения, которое имеется в равновесном материале при T_β . Затем температура резко изменяется от T_α до T_β . В результате наблюдается типичная картина остаточной релаксации, представленная на рис. 1, 2, где приведена зависимость показателя преломления от времени для боросиликатного стекла в эксперименте с резким изменением температуры [17] (точки — эксперимент). Сплошная линия соответствует формуле (19) с $N_\infty = 1,51584$, $N_1 = 0,00094$, $N_2 = -0,00086$, $\tau_p = 75$ мин, $\tau_g = 540$ мин для рис. 1, штриховая — $N = N_\infty$ (N_∞ — равновесное значение свойства $N(t)$), а для рис. 2 $N_\infty = 1,51453$, $N_1 = 0,00064$, $N_2 = -0,00064$, $\tau_p = 12$ мин, $\tau_g = 96$ мин.

Кривые типа показанных на рис. 1, 2 анализировались в предположении существования медленных и быстрых релаксационных процессов в материале [17]. Релаксационное уравнение, описывающее данный

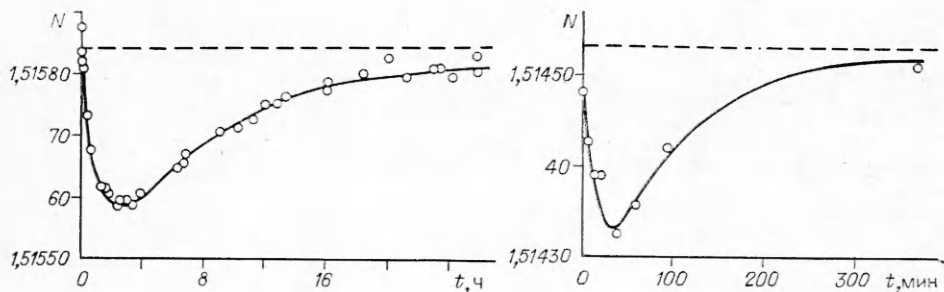


Рис. 1

Рис. 2

процесс для малых отклонений от равновесия, выражалось в виде суммы двух экспонент:

$$(19) \quad N(t) = N_\infty + [N_1 \exp(-t/\tau_p) + N_2 \exp(-t/\tau_g)]/2$$

(N_1, N_2, τ_p, τ_g — константы, причем τ_p и τ_g имеют смысл времен релаксаций).

Рассмотрим данный процесс, имеющий четыре стадии. Сначала стекло находится в равновесном состоянии при T_1 . В первой стадии происходит резкий переход к T_2 и изотермическая выдержка при данной температуре. При достижении значения объема стекла, равного равновесному значению объема при T_3 (лежащей между T_1 и T_2), стекло резко переводится к T_3 и опять происходит изотермическая выдержка. Будем считать, что происходящие изменения температуры достаточно малы. Тогда, как раньше, $\eta_v'' \approx \text{const}$, $\eta_v''' \approx \text{const}$, $d\eta_v''/dt \approx 0$. Решение уравнения (17) в этом случае имеет вид

$$(20) \quad w(t) = w_{3,\infty} + A [\exp(-t/\tau) - \exp(-t/\tau_s)] + a \exp(-t/\tau),$$

где $A \approx w_{3,\infty} \beta''' \tau [(T_2 - T_1) \exp(-t_1/\tau_s) + (T_3 - T_2)] / (\tau_s - \tau)$; $a = w_{3,\infty} \beta' (T_3 - T_2)$; $w_{n,\infty}$ — равновесный объем при $T = T_n$ ($n = 1, 2, 3$). Значение времени t_1 может быть вычислено из уравнения $w_{3,\infty} = w_{2,\infty} + \Delta w_v^0 \times \exp(-t_1/\tau) + \Delta w_s^0 \exp(-t_1/\tau_s)$ (Δw_v^0 и Δw_s^0 — изменения объема при переходе от температуры T_1 к T_2 за бесконечно большой промежуток времени, обусловленный вязкой и эластической деформацией соответственно). Отсюда следует, что релаксация объема для данной истории процесса выражается в виде суммы двух экспонент аналогично уравнению (19). Экспериментальные значения, показанные на рис. 1, 2, описываются уравнением (19), в котором N_1 и N_2 имеют значения, близкие по абсолютной величине, но противоположные по знаку [17], что отвечает уравнению (20).

Таким образом, суммируя полученные в настоящей работе результаты, можно сказать, что подход Максвелла, позволяющий описать одновременно вязкое и упругое поведение жидкостей для однородной сдвиговой деформации, распространенный в [3, 7—9] на произвольные, но малые деформации аморфных твердых тел, обобщен для произвольного движения вязкоупругой сжимаемой среды с учетом изменяющейся температуры путем объединения тензоров скоростей вязкой и упругой деформации без разделения движения на чисто сдвиговое и объемное. Полученные уравнения позволяют описать одновременно вязкое и упругое поведение обычных жидкостей и аморфных твердых тел и кинетику превращения жидкости в стеклообразное состояние под действием изменяющейся температуры.

Введенное предположение о существовании, подобно сдвиговой деформации, для объемного течения помимо упругой и вязкой также эластической деформации позволяет объяснить неэкспоненциальный закон релаксации объема жидкости и наличие эффекта «памяти» в аморфном материале.

ЛИТЕРАТУРА

1. Корнфельд М. Упругость и прочность жидкостей.— М.: Госиздат. техн.-теор. лит., 1951.
2. Кобеко П. П. Аморфные вещества.— М.: Изд-во АН СССР, 1952.
3. Френкель Я. И. Кинетическая теория жидкостей.— Л.: Наука, 1975.
4. Мазурин О. В. Стеклование и стабилизация неорганических стекол.— Л.: Наука, 1978.
5. Быстроакаленные металлы/Под ред. Б. Кантора: Пер. с англ.— М.: Металлургия, 1983.
6. Металлические стекла/Под ред. Дж. Дж. Гилмана и Х. Дж. Лимп: Пер. с англ.— М.: Металлургия, 1984.
7. Дорофеева Е. А., Прокошин А. Ф. Магнитная анизотропия аморфных металлических сплавов на основе железа // ФММ.— 1984.— Т. 57, № 3.
8. Дорофеева Е. А. О микроструктуре металлического стекла // ФММ.— 1987.— Т. 63, № 2.
9. Френкель Я. И., Образцов Ю. Н. Феноменологическая теория механических свойств аморфных тел и распространение колебаний в них // ЖЭТФ.— 1939.— Т. 9, № 9.
10. Френкель Я. И. Кинетическая теория жидкостей.— М.; Л.: Изд-во АН СССР, 1945.
11. Ландау Л. Д., Лижиц Е. М. Механика сплошных сред.— М.: Госиздат. техн.-теор. лит., 1954.
12. Литовиц Т., Дэвис К. Структурная и сдвиговая релаксация в жидкости // Физическая акустика/Под ред. У. Мэзона: Пер. с англ.— М.: Мир, 1968.— Т. 2, ч. А.
13. Рамачандрао П. Интервал стеклования в металлических стеклах // Быстроакаленные металлы/Под ред. Б. Кантора: Пер. с англ.— М.: Металлургия, 1983.
14. Anderson P. M., Lord A. E. The correlation between viscous flow and differential scanning calorimetry // Mater. Sci. Engng.— 1980.— V. 43, N 2.
15. Кобеко П. П., Кувшинский Е. В., Гуревич Г. И. Исследование аморфного состояния // Изв. ОМЕН.— 1937.— Т. 3, № 2.
16. Листошин Б. В. О методике определения термомеханической температуры стеклования неорганических стекол // Физика и химия стекла.— 1984.— Т. 10, № 6.
17. Macedo P. B., Napolitano A. Effects of a distribution of volume relaxation times in the annealing of BSC glass // J. Res. NBS.— 1967.— V. 71A, N 2.

г. Донецк

Поступила 13/X 1987 г.,
в окончательном варианте —
11/III 1988 г.

УДК 539.3

Л. Г. Доборджинидзе

ПЛОСКАЯ КОНТАКТНАЯ УПРУГОПЛАСТИЧЕСКАЯ ЗАДАЧА НЕЛИНЕЙНОЙ ТЕОРИИ УПРУГОСТИ ДЛЯ МАТЕРИАЛА ГАРМОНИЧЕСКОГО ТИПА

В условиях простого нагружения исследована плоская контактная упругопластическая задача [1] нелинейной теории упругости для полуплоскости из материала гармонического типа [2]. Силы трения на контактной области отсутствуют. Приводится решение упругопластической задачи о растяжении бесконечной плоскости из указанного материала, ослабленной двумя полубесконечными разрезами, расположенными вдоль действительной оси [3]. Получено точное решение рассматриваемых задач.

1. Пусть нелинейно-упругая полуплоскость S занимает нижнюю часть плоскости комплексного переменного $z = x + iy$ и вдоль линии $L' = [-b; b]$ границы S , обозначаемой далее через L , приложен жесткий штамп симметрично относительно начала координат. На штамп действует сосредоточенная сила $(0, N_0)$, направленная вертикально вниз вдоль оси $0y$, где N_0 — заданная постоянная. Остальная часть границы ($L'' = [-\infty; -b] \cup [b; \infty]$) свободна от внешних воздействий. Напряжения и вращение на бесконечности отсутствуют.

При определенном значении внешней нагрузки на контактной области под штампом вблизи наибольшей концентрации контактных напряжений